

3-1-14

CONSEJO SUPERIOR
DE INVESTIGACIONES CIENTÍFICAS

A. M. D. G.

INSTITUTO NACIONAL DE GEOFÍSICA

BOLETIN MENSUAL

DEL

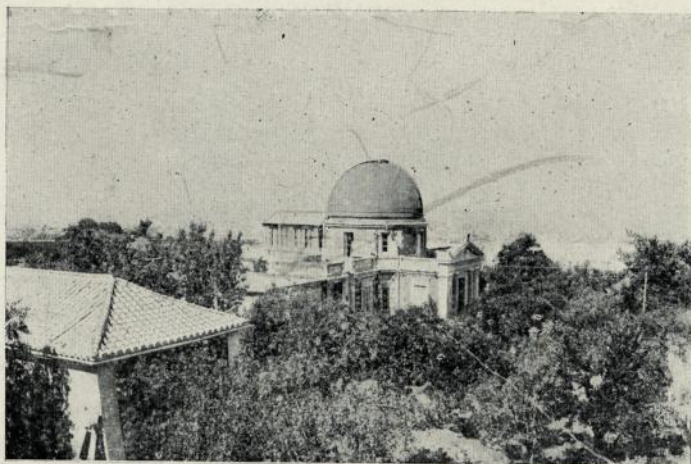
OBSERVATORIO DE CARTUJA

GRANADA

Dirigido por PP. de la Compañía de Jesús

Julio, Agosto y Septiembre de 1939

Observaciones meteorológicas y sísmicas



GRANADA
IMP. NTRA. SRA. DE LAS ANGUSTIAS
1941

Documentation preserved at the Fabra Observatory (Barcelona – Spain),
reproduced on 2002 by SGA Storia Geofisica Ambiente (Bologna)
on behalf of the Istituto Nazionale di Geofisica e Vulcanologia (Rome),
in the frame of the EUROSEISMOS project.

These data are considered public domain and may be freely distributed
or copied for non-profit purposes provided the project is properly quoted.

POSICIÓN DEL OBSERVATORIO

Latitud N, $37^{\circ} 11' 24''$ —Longitud W de Greenwich $14^{\text{m}} 23^{\text{s}}, 5$

Altitud en metros 774,37



1939 (Año de la Victoria).

— 45 —

Números 7-9 (Julio-Septiembre)

OBSERVATORIO DE CARTUJA (GRANADA) ESTACIÓN SISMOLÓGICA

(Declarada de Utilidad Pública por R. O. de 13 de Octubre de 1920)

$\varphi = 37^{\circ} 11' 24''$ N.
 $\lambda = 3^{\circ} 35' 41''$ W. Gr.
O h.=media noche (T. M. G.)

Boletín Sísmico

Subsuelo: Caliza tortonense.
(Mioceno de facies litoral marina).
A=776,6 m.

SISMÓGRAFOS	Componente	Masa (kgs.)	T _o (s)	V	V : 1	$\frac{r}{T_o}$
Belarmino	Z	3,5	6	—	—	—
Canisio	N-S	1,5	12	—	—	—
"	E-W	1,5	12	—	—	—
Berchmans	{ N-S E-W	{ 4260	{ 5,6 5,6	1050 790	5,1 8	0,0016 0,0019
Cartuja bifilar	N-S	340	9,6	73	7,1	0,0003
" "	E-W	340	9,7	84	9	0,0004
" vertical	E-W	370	2,8	20+	—	0,003

(Todos construidos en los talleres de la Estación Sismológica)

NOTA.—Por imposibilidad de obtener papel fotográfico, no han funcionado durante este trimestre los sismógrafos de registro magneto-fotográfico.

J U L I O

Núm.	Fecha	Fase	Hora	Periodo	AMPLITUD		△	OBSERVACIONES
					Añ	AB		
58	2	iP	19 33 17					h=25 kms—Gráfica estudiada sobre ampliación fotográfica.
		p2	18,8	ráp.	1,8		-1	
		p3	25,7		0,5		-0,3	
		iS	28,8		2	+2	-1,2	
		PS	30,5		"		+0,5	
		p4	34		0,5		" 1,5	
		S2	37,2		"		" 1	
		p5	41,5		2		-1	
		S3	47		"		-1,6	
		F	34,3					
59	4	eP	18 58 2		2		-0,3	h=400 kms.
		PcP	27		"		+0,4	
		pP	39 16		"		" 0,1	
		pPcP	31		4	+0,4		
		iS	48 2		"		-0,5	
		PS	28		5		+0,7	
		pS	55		4	-0,3		
		pPPS	49 56		"		-0,8	
		iSS	53 36		8	-0,2		
		L	19 2,2		30			
60	5	M	7 38		14		2	h=400 Kms.—LM casi inapreciables. Fases poco definidas. Epicentro: 24° S—179° W, al Sur de las islas Fidji (USCGS)
		F	19,3					
		iP	23 0 0		2	-0,2		
		eSKP	3 2		3	-0,3		
		iPP	4 48		4	-1,2	+1	
		SKKS	12 15		"	-0,5		
		ePPS	20 35		12	-1,5		
		eSS	27 2		16		+2	

Núm.	Fecha	Fase	Hora	Periodo	AMPLITUD		Kms.	OBSERVACIONES
					AN	AE		
79	19	S ⁴	h. m. s.	s.	μ	μ	57	del día 19, y las 18 h. del día 20; las más fuertes, que son las cuatro registradas en Cartuja, fueron respectivamente en Málaga, de grado IV, III, III y V.
		F	23 1 54	1	+0,5	+0,7		
			3,3					
		iP	23 4 16	0,5	" 0,3	- 0,5		
		iS	24	2	-5,2	-1,6		
		p ³	31	1,5	-2	+7		
		PS	34	2		-7		
		S ³	42	1	+2,8	+1,6		
		P ⁴	50	"	" 2	-1		
		S ⁴	5 8	"	" 1	-1,5		
80	19	F	6,3					
		p	23 17 28	0,5	" 0,1			
		iS	35	"	" 0,2			
		P	18 2	1	" 2,5			
		S ²	20	"	" 1,8	-1,5		
81	19	F	21,5					
		iP	23 36 59	0,5	" 0,5	- 0,5		
		iS	37 7	2	" 150	+ 120		
		S ³	51	1,5	" 8			
		F	42,0					
82	21	eL	16 21,6	30			En Granada, grado III-IV F. M.-A partir de i8, la excesiva amplitud de las ondas dificulta la interpretación; salida de las agujas en varios péndulos.	
		M	25 6	17	" 3			
		F	16,6					

SEPTIEMBRE

83	2	PKP	9 18 45	6	-1,2	13560		
		PP	20 9	4	-0,2			
		(PPP)	23 31	6	+0,3			
		L	10 16,59	22				
		M	21 9	17	-2,2			
		M	24 14	18	-3			
		F	11,0					
84	8	eP	12 17 53	2		-1,8	10220	Epicentro: 51° N-175° E. (USCGS) h=60
		pP	18 1	2	-0,5			
		iPP	21 33	3		-7,5		
		pPP	42	7		+3,5		
		SKS	28 11	6		-6		
		iS	55	10		-22		
		PS	30 9	8	-1,5			
		ISS	34 56	12		-36		
		L	42 21	30				
		M	50 34	25		-40		
		M	53 35	24	-13			
		M	56 35	27		-62		
		M	59 19	16	-10			
		F	14,0					
85	11	P	14 44 16	ráp.			60	Muy débil.
		S	21					
		F	44,8					
86	12	cP	6 46 16	ráp.			60	
		iS	20	1				
		i	30	1				
		F	47,7					

Nº	Fecha	Fase*	Hora	Periodo	Amplitud		Observaciones
					An	Ae	
87	12	iPKP	12 26 29	3	-1	18440	Foco profundo.
		PP	31 11	4	-0,7		
		ePPP	35 32	6	-0,2		
		eSKKS	38 38	8	-0,3		* Inapreciables.
		LM*					
		F	13,1				
88	12	iP	18 11 49	ráp.		80	
		iS	51	2	+3		
		M	54	2	-7		
		M	59	1	+28		
		F	12,5				
89	18	i	0 27 27	3	-1,7		
		F	34,0				
90	19	i	3 43 44	4	-0,2		
		F	3,8				
91	20	P	0 23 56	4	+0,8	2220	Epicentro en el mar Jónico, por los 38° N-18° E (Zurich)
		PP	24 22	5	" 1,6		
		iS	27 40	6	-4		
		eSS	28 40	4	-7		
		iL	30 22	22			
		M	37 21	9	+2		
		F	0,8				
		iP	0 41 52	6	" 0,2	+0,2	
92	23	pP	42 23	4	" 0,8		
		sPP	43 22	6	" 1	" 1	
		pPcP	46 5	7	-1		
		iS	11	13	" 1		
		sPcP	28	6	-1,6*		
		pS	52	"	-2		
		sS	47 6	9	+1,5		
		iSS	58	8	" 3,2		
		LM*					* Inapreciables; sólo continúa la propagación de las ondas de periodo relativamente corto.
		F	1,5				

El Director:

Antonio Due, S. J.

3-1-14

CONSEJO SUPERIOR
DE INVESTIGACIONES CIENTÍFICAS

A. M. D. G.

INSTITUTO NACIONAL DE GEOFÍSICA

BOLETIN MENSUAL

DEL

OBSERVATORIO DE CARTUJA

GRANADA

Dirigido por PP. de la Compañía de Jesús

Octubre, Noviembre y Diciembre de 1939

Observaciones meteorológicas y sísmicas



GRANADA

IMP. NTRA. SRA. DE LAS ANGUSTIAS

1942

Documentation preserved at the Fabra Observatory (Barcelona – Spain),
reproduced on 2002 by SGA Storia Geofisica Ambiente (Bologna)
on behalf of the Istituto Nazionale di Geofisica e Vulcanologia (Rome),
in the frame of the EUROSEISMOS project.

These data are considered public domain and may be freely distributed
or copied for non-profit purposes provided the project is properly quoted.

POSICIÓN DEL OBSERVATORIO

Latitud N, $37^{\circ} 11' 24''$ —Longitud W de Greenwich $14^{\text{m}} 23^{\text{s}}, 5$

Altitud en metros 774,37



Año 1939. Año de la Victoria.

— 45 —

Números 10-12 (Octubre-Diciembre)

OBSERVATORIO DE CARTUJA (GRANADA) ESTACIÓN SISMOLÓGICA

(Declarada de Utilidad Pública por R. O. de 13 de Octubre de 1920)

$\varphi=37^{\circ} 11' 24''$ N.
 $\lambda=3^{\circ} 35' 41''$ W. Gr.
O h.=media noche (T. M. G.)

Boletín Sísmico

Subsuelo: Caliza tortonense.
(Mioceno de facies litoral marina).
A=776,6 m.

SISMÓGRAFOS	Componente	Masa (kgs.)	T ₀ (s)	V	V : 1	r T ₀ ²
Belarmino	Z	3,5	6	—	—	—
Canisio	N-S	1,5	12	—	—	—
"	E-W	1,5	12	—	—	—
Berchmans	{ N-S E-W	{ 4260	{ 5,6 5,6	1050	5,1	0,0016
Cartuja bifilar	N-S	340	9,6	790	8	0,0019
" "	E-W	340	9,7	73	7,1	0,0003
" vertical	E-W	370	2,8	84	9	0,0004
				204	—	0,003

(Todos construidos en los talleres de la Estación Sismológica)

OCTUBRE

Núm.	Fecha	Fase	Hora	Periodo	A M P L I T U D			△	OBSERVACIONES
					An	Ae	Az		
93	2		h. m. s.	s.	μ	μ	μ	(600)	Kms.
		(P)	21 40 27	3	—	—0,1	—		
		iS ^a	41 39	4	—	+1,6	—		
		i	53	5	—	—6	—		
94	7	F	46	—	—	—	—	10,800	Epicentro al E. del Japón: 41° N-143° E (USCGS).
		e	21 4 20	2	—	+0,06	—		
		e	40 58	2	—	+0,07	—		
95	8	F	12	—	—	—	—	10,800	Epicentro al E. del Japón: 41° N-143° E (USCGS).
		i	0 2 52	2	—	+0,1	—		
		F	6	—	—	—	—		
96	10	eP	18 47 44	4	—	+0,2	—	10,800	Epicentro al E. del Japón: 41° N-143° E (USCGS).
		ePP	51 54	3	—	+2	—		
		ePS	19 2 39	4	—	+0,1	—		
		L	14,7	30	—	—	—		
		M	26 11	24	—	—29	—		
		M	35 52	17	—	—28	—		
97	15	F	20,1	—	—	—	—	—1 d	Sentido en Italia, provincia de Carrara, según Toledo.
		e	4 53 26	5	—	—	—		
		L	5,9	36	—	—	—		
98	15	F	5,3	—	—	—	—	—1 d	Sentido en Italia, provincia de Carrara, según Toledo.
		eP	14 8 7	2	+0,2	—	—		
		eL	15 7	9	+0,4	—	—		
		M	21 10	8	—	+0,6	—		
99	17	F	14,6	—	—	—	—	17,500	h=100 kms.
		iPKP ₁	6 41 3	2	+0,5	—	—		
		pPKP ₁	22	3	—	+0,6	—		
		PKP ₂	39	2	—	+1,6	—	17,500	h=100 kms.

Nº.	Fecha	Fase	Hora	Periodo	A M P L I T U D			△	OBSERVACIONES
					AN	AE	Az		
			h. m. s.	s.	μ	μ	μ	Kms.	
		pPKP ₂	6 41 53	3		-3,3			
		PP	45 11	4	+1,3				
		pPP	30	3		-1,6			
		SKS	47 25	6		+1,5			
		SKKS	51 40	4		+1,2			
		SSS	7 10 21	30	-8				
		LM*							* inapreciables.
		F	9,2						
100	19	L	12 16,2	40					
		M	21 10	17			3 c		
		F	12,5						
101	20	iP	20 18 1	6			4 c		
		e	22 11	12			1,7 c		
		L	40,8	30					
		M	46 9	20			3,6 c		
		F	21,0						
102	26	i(P)	1 5 1	8			1,9 c		
		i	6 31	8			1,6 c		
		e	11 15	9			1,3 d		
		L	19,3	24					
		M	37 3	15			2,4 c		
		F	1,9						
103	30	eP	13 32 56	7			2,2 c	(11,110)	
		iPP	36 33	5			2 d		
		PS	45 18	8			3,6 c		
		F	14,0						
104	30	L	23 41,0	30					
		M	51 29	16			3,2 c		
		M	0 3 0	16			2,5 c		
		F	0,2						

NOVIEMBRE

105	4	iP	10	23	26	9			4 c	4330
		PcP		25	33	6			3 c	
		PcS		29	1	4			2 c	
		eS		30	45	6			2 d	
		ScS		33	56	12			4 d	
		LM		38,3		26				
		M		45	1	16			14 d	
		F		11,3						
106	5	iP	2	10	3	5			4 d	4450
		iPP		11	27	7			5 d	
		PcP*		12	24	8			4 c	
		S		15	49	13			+2	
		L		22	22	.22				
		M		27	52	12			" 8	
		M		42	34	11			" 4	
		F		3,2						
107	9	iP	22	25	55	inap.			-2	25
		iS			57,5	"			+10	
		M		26	1	6			+10	
		F		27						

Nº	Fecha	Fase	Hora	Periodo	A M P L I T U D			Kms.	OBSERVACIONES
					AN	AE	Az		
108	10	L	h. m. s.	s.	μ	μ	μ	4 c	
		M	11 51,8	36					
		M	57 45	24					
		F	12 4 24	15	+4				
109	10	ePKP	17 10 39	6				1 c	Epicentro cerca de las islas Salomón.
		PP	14 22	8				2 c	
		e	16 17	12	-3				
		SKSP	24 0	9	-3				
		LM	18 12,1	39					
		M	19 51	21				4 c	
		M	25 27	19	+3				
		F	19,2						
110	10	iPKP	20 40 22	6				2 d	Réplica del anterior.
		PR	44 10	8				2 c	
		SKS	47 3	10	-3				
		SKSP	54 8	11	-3				
		PPS	56 0	10	-3				
		SS	21 2 34	12	+3				
		SSS	8 24	10	+3				
		eL	37,9	28					
		M	50 30	21	+2				
		F	22,5						
111	11	iP	18 25 1	inapre.	+0,2			23	h=10 Kms.
		iS	4,5	"	+0,2				
		P ²	15	3	+13				
		P ³	21	2	-2				
		S ²	30	1	-6				
		S ³	36	1	-3				
		P ² S ³	52	1	+2				
		S ⁴	26 2	2	-1				
		S ⁵	8	2	-1				
		F	28	"					
112	11	iP	18 42 59	inapre.	+0,2			23	h=10. Réplica del anterior.
		iS	43 2	"	-4				
		P ²	14	"	+1				
		PS	18	"	-1				
		PS ²	31	2	-0,5				
		S ³	32	inapre.	-1				
		P ² S ²	47	2	+1				
		F	47						
113	13	iP	7 58 4	3				4 d	
		P _c P	20	6				10 d	
		PP	8 1 27	6				3 d	
		iS	8 26	9	+15				
		SS	13 30	8	+8				
		L	22,7	32					
		M	29 26	26	+9				
114	18	F	8,6 F. M.						12.200
		eP	1 45 40	11	+2,5				
		iS	58 1	12	-8				
		L	2 19,4	33					
		M	30 28	21	+24				
		F	3,1						

Num.	Fecha	Fase	Hora	Periodo	A M P L I T Ú D			Δ	OBSERVACIONES
					AN	AE	Az		
115	21	eP	8 55 44	6	μ	μ	μ	Kms.	
		IS	9 1 6	12	-10				
		L	4,9	17					
		M	8 47	15	+30				
		M	15 29	12			5 c		
		F	10,3						
116	21	iP	11 10 44	6				Kms.	h=200 Kms.
		pP	11 31	6					
		pPcP	57	6					
		PP	13 41	4					
		PcS	15 19	12					
		es	18 49	12	+15				
		sS	19 58	11					
		SS	22 33	8					
		sSS	23 45	8					
		L	32,2	42					
		M	37 22	18					
		F	12,6						

DICIEMBRE

117	1	ePKP ₁	6 54 10	5				Kms.	20.000
		PKP ₂	56 3	12	+3				
		PP	7 0 21	10	" 2				
		SKKS	6 17	12	" 3				
		i	16 33	12	-2				
		SS	22 37	12	-3				
		SSP	24 14	12	-3				
		SSS	30 56	12	-2				
		L	49,9	36					
		M	8 4 22	20					
		M	12 39	18	+4				
		F	9,1						
118	1	iL	17 15,5	36				Kms.	3.000
		M	29 33	14					
		F	18,0						
		iP	0 10 29	9	+2				
		iS	16 14	13	" 2				
119	3	L	19,3	36				Kms.	4.000
		M	25 21	18	" 4				
		F	1,0						
		iP	8 42 22	8					
		PP	46 23	8					
		IS	53 21	10					
		SS	9 0 14	12					
120	5	SSS	3 7	9				Kms.	10.000
		iL	8,1	30					
		M	15 18	22					
		M	21 52	16					
		F	10,5						
		iP	10 59 54	5					
		IPP	11 3 44	5					
121	16	iS	10 20	11	+9			Kms.	11.110
		IPPS	12 35	12	" 16				

Nº.	Fecha	Fase	Hora	Periodo	A M P L I T U D			OBSERVACIONES
					Añ	Ae	Az	
			h. m. s.		μ	μ	μ	
		SS	11 18 46	10				
		L	32,8	33				
		M	41 54	27				
		F	13,8					
122	17	e	0 39 19	5				
		LM	1 44 18	39				
		F	2,1					
123	17	eL	23 33,3	40				
		M	40 39	11	-6			
		M	45 9	10	+4			
		F	24,0					
124	18	PKP	6 46 18	*6				
		PP	50 31	-6				
		eSKS	54 40	7				
		iSS	7 11 40	12	+3			
		eSSP	14 6	11	-2			
		SSS	18 9	12	-3			
		LM*						
		F	8,5					* inapreciables.
125	18	iP	7 0 43	inap.	+4			
		iS	49	"	-24			
		F	2					
126	18	ePKP	11 43 39	5				
		(PP)	47 2	7				
		L	12 38					
		F	13,0					F. M.
127	21	iP	1 53 30	5				
		iPP	54 58	8				
		iS	59 43	11	-3			
		SSS	2 3 1	10				
		L	5,6	27				
		M	10 41	20				
		M	12 40	9				
		F	2,8					
128	21	iP	21 6 43	1				
		iPeP	7 3	3	+21			
		PP	9 40	4	6			
		iS	16 39	10	1			
		SP	17 6	7	-15			
		SS	21 52	15	+150			
		eSSS	24 50	18	" 90			
		L	31,7	30				
		M ₀	35 24	20	" 150			
		M	37 14	20	" 45			
		F	22,3					
129	21	eP	21 19 13	3				
		S	28 47	6	" 30			
		G	52,7	80				
		L	58,1	54				
		F	25,3					
130	22	iP	4 55 57	7				
		PP	58 52	9				
					9 d.	8670		
					10 c			

Nº	Fecha	Fase	Hora	Periodo	A M P L I T U D			Kms.	OBSERVACIONES
					AN	AE	Az.		
			h. m. s.	s.	μ	μ	μ		
		PPP	5 0 55	9				8 c	
		iS	5 45	12		+1			
		iSz	6 1	10				10 d	
		SS	11 25	12				9 d	
		G	15,5	53					
		L	21,5	28					
		M	47 52	17				15 c	
		F	8,5						
131	23	i(P)	12 54 28	4					
		L	13 29	24				1 d	
		M	9 31	13	+7				
		M	14 16	12	" 8				
		F	13,8						
132	23	iP	17 23 40	6				2 d	8220
		iS	33 10	12	" 2				
		L	46,3	28					
		M	54 37	18	" 13				
		M	18 2 28	18	" 8				
		F	18,6						
132	25	iP	6 39 11	6				2 d	3445
		iS	44 29	6				2 c	
		L	49,5	38					
		M	51 32	14				2 d	
		F	8,0						
133	25	eP	12 58 29	12	-3				3445
		iS	13 2 56	12	+20				
		L	8,3	30					
		M	11 41	12	" 20				
		F	14,2						
134	25	ePKP	16 44 31	8	-3				15.555
		ePP	47 34	10	-3				
		L	17 43,0	33					
		M	51 5	17				7 d	
		F	18,6						
135	26	iP	12 7 50	18				4 d	
		iS	17 1	10	+5				
		SS	23 27	12	" 5				
		iL	31,6	42					
		M	33 13	30	" 3				
		F	13,2						
136	26	iP	21 1 47	9				2 c	8555
		iS	11 42	11	" 6				
		SS	16 52	12	" 5				
		L	26,0	45					
		M	41 13	20	" 6				
		M	45 44	15	-4				
		F	23,3						
137	27	iP	0 4 2	3				4 c	
		PP	5 12	5	+40				
		PcP	7 2	4		+13			
		iSn	9 47	21	" 800				
		iSe	51	18	" 1200				
									Violentísimo terremoto destructor en Anatolia, de extensa área macrosismica en forma de elipse; alrededor de Erzindjan, que quedó destruida. Según datos de la Prensa, hubo más de 40.000 y 50.000 edificios en ruinas.

Núm.	Fecha	Fase	Hora	Periodo	A M P L I T U D.			Kms.	OBSERVACIONES
					An	Ae	Az		
138	27	PcS	10 47	6	μ	μ	μ	Kms.	OBSERVACIONES
		SS	11 51	42	+1375				
		L	14,6	28					
		M	17 35	24	" 3600				
		"	18 8	20	+400				
		"	22 47	21	-2250				
		"	23 32	13	+300				
		"	24 14	17	+1600				
		"	28 51	16	" 700				
		"	30 33	14	-450				
		"	43 20	15	" 210				
		"	49 0	13	-50				
		"	51 26	12	-60				
		F	4,7						
		iP	20 55 43	inap.	+1				
139	27	iS	49	"	" 12				
		M	52	4	" 1				
		F	57						
		eLM	22 49,6	40					
140	28	F	23,1					F. M.	Averia cronógrafo.
		ePKP	0 16 6	6					
		eL	1 21	39					
		F	2,1						
141	28	eP	3 32 3	2	" 2			F. M.	Averia cronógrafo.
		PP	58	5		2 d			
		eS	37 36	8	" 1				
		SS	39 41	10	-7				
		L	41,7	28					
		M	44 51	18					
		F	4,5						

El Director:

Antonio Due, S. J.